

РОССИЙСКАЯ АКАДЕМИЯ НАУК
СИБИРСКОЕ ОТДЕЛЕНИЕ
А В Т О М Е Т Р И Я

№ 3

1994

УДК 681.7.068.4

С. Г. Раутиан
(Новосибирск)

О МОДАХ ПЛАНАРНЫХ СВЕТОВОДОВ

Построена обобщенная теория бегущих мод планарных диэлектрических световодов, применимая к незатухающим и затухающим волнам, при любых отражающих покрытиях. Получены приближенные выражения для собственных значений компонент волновых векторов, перпендикулярных границам световода. Отмечена аналогия между пластинкой Люммера — Герке и световодом. Показано, что дифракционные явления обуславливают возбуждение не одной моды.

Планарные (пленочные, полосковые и т. п.) световоды играют важную роль в интегральной оптике (см., например, [1—3]). Главные свойства световодов связаны с их бегущими модами, которые представляют собой плоские волны, отражающиеся от границ световода. Волновые векторы мод образуют дискретный набор, и соответствующим характеристическим уравнением является сравнительно простое трансцендентное уравнение, решения которого найдены как численными способами, так и с помощью приближенных, асимптотических соотношений [1—3].

Вместе с тем следует констатировать, что многие работы, посвященные планарным световодам, исходят из частных моделей и соображений, например, из представления о так называемых зигзагообразных волнах, которые, строго говоря, не являются собственными решениями (модами) в обычном понимании этого термина. Такого рода подходы лишают теорию желаемой общности и создают, например, трудности при переходе к затухающим модам. Можно отметить также «технические» недостатки существующего в литературе анализа характеристического уравнения, связанные с неоправданным его усложнением.

В статье изложена простая, но достаточно общая теория мод планарных световодов, которая позволяет с единых позиций рассматривать различные практически интересные случаи. Получены приближенные выражения для собственных значений в радикалах.

1. Общая теория. Традиционная постановка электродинамической задачи для планарных световодов сводится к следующему. Система моделируется плоским слоем однородного изотропного диэлектрика (толщина h , диэлектрическая проницаемость ϵ), расположенного между однородными изотропными полупространствами с диэлектрическими проницаемостями ϵ_1 и ϵ_2 (рис. 1). Оси z и x направлены соответственно вдоль и перпендикулярно границам раздела. Рассматриваются монохроматические волны (частота ω), не зависящие от y и бегущие вдоль направления z , т. е. зависимость от z задается фактором $\exp(ik_z z)$. Из линейности и однородности граничных условий следует, что точно такая же зависимость от z должна быть во всех трех средах [4]. Таким образом, поле ищется в виде

Рис. 1. Слой диэлектрика (ϵ) и волновые векторы четырех волн

$$\begin{aligned} E_1 &= D_1 e^{-i(\omega t - k_z z + k_{1x} x)}, & -\infty < x < 0, \\ E &= e^{-i(\omega t - k_z z)} (A_1 e^{ik_x x} + A_2 e^{-ik_x x}), & 0 < x < h, \\ E_2 &= D_2 e^{-i(\omega t - k_z z - k_{2x} x)}, & h < x < \infty. \end{aligned} \quad (1)$$

Функции (1) являются решениями уравнений Максвелла, если выполняются равенства

$$k^2 \equiv k_z^2 + k_x^2 = \frac{\omega^2}{c^2} \epsilon, \quad k_1^2 \equiv k_z^2 + k_{1x}^2 = \frac{\omega^2}{c^2} \epsilon_1, \quad k_2^2 \equiv k_z^2 + k_{2x}^2 = \frac{\omega^2}{c^2} \epsilon_2. \quad (2)$$

Векторные амплитуды D_1, A_1, A_2, D_2 ортогональны соответственно волновым векторам

$$\begin{aligned} \mathbf{k}_1 &= (k_{1x}, 0, k_z), & \mathbf{k}_+ &= (k_x, 0, k_z), & \mathbf{k}_- &= (-k_x, 0, k_z), & \mathbf{k}_2 &= (k_{2x}, 0, k_z), \\ \mathbf{k}_1 D_1 &= 0, & \mathbf{k}_+ A_1 &= 0, & \mathbf{k}_- A_2 &= 0, & \mathbf{k}_2 D_2 &= 0. \end{aligned} \quad (3)$$

Граничные условия состоят в непрерывности проекций напряженностей электрического и магнитного полей на границах раздела $x = 0$ и $x = h$. Явный вид граничных условий зависит от состояния поляризации. Аналогично задаче о френелевском отражении различаются два случая. В первом случае векторы E_1, E, E_2 направлены вдоль оси y , т. е. $E = (0, E, 0)$ и аналогично для E_1 и E_2 (TE -волна, или s - или \perp -поляризация в терминологии задачи Френеля [4]). Векторы H_1, H, H_2 в этом случае находятся в плоскости x, z , т. е. $H = (H_x, 0, H_z)$ и т. д. Во втором случае $H = (0, H, 0)$, $E = (E_x, 0, E_z)$ и т. д. (TH -волна, или p - или \parallel -поляризация).

Легко показать, что граничные условия представимы в виде

$$A_1 = \rho_1 A_2, \quad A_2 e^{-ik_x h} = \rho_2 A_1 e^{ik_x h}, \quad (4)$$

$$D_1 = t_1 A_2, \quad D_2 e^{ik_{2x} h} = t_2 A_1 e^{ik_{1x} h}. \quad (5)$$

Здесь под A_1, A_2, D_2, D_1 понимаются либо \perp -, либо \parallel -составляющие амплитуд A_1, A_2, D_2, D_1 . Величины ρ_1, ρ_2, t_1, t_2 суть френелевы коэффициенты отражения и пропускания на границах $x = 0$ и $x = h$ соответственно для \perp -поляризации:

$$\rho_1 = \rho_{\perp 1} = \frac{k_x - k_{1x}}{k_x + k_{1x}}, \quad \rho_2 = \rho_{\perp 2} = \frac{k_x - k_{2x}}{k_x + k_{2x}}, \quad (6)$$

$$t_1 = t_{\perp 1} = \frac{2k_x}{k_x + k_{1x}}, \quad t_2 = t_{\perp 2} = \frac{2k_x}{k_x + k_{2x}} \quad (7)$$

— либо для \parallel -поляризации:

$$\rho_1 = \rho_{\parallel 1} = \frac{k_x/\epsilon - k_{1x}/\epsilon_1}{k_x/\epsilon + k_{1x}/\epsilon_1}, \quad \rho_2 = \rho_{\parallel 2} = \frac{k_x/\epsilon - k_{2x}/\epsilon_2}{k_x/\epsilon + k_{2x}/\epsilon_2}, \quad (8)$$

$$t_1 = t_{\parallel 1} = \sqrt{\epsilon/\epsilon_1} \frac{2k_x/\epsilon}{k_x/\epsilon + k_{1x}/\epsilon_1}, \quad t_2 = t_{\parallel 2} = \sqrt{\epsilon/\epsilon_2} \frac{2k_x/\epsilon}{k_x/\epsilon + k_{2x}/\epsilon_2}. \quad (9)$$

Запись граничных условий в форме (4), (5) удобна в том отношении, что она имеет силу не только для преломления и отражения из-за скачков диэлектрической проницаемости, но и при произвольных причинах отражения: отражение может быть обусловлено переходным слоем с непрерывным изменением показателя преломления либо тонким слоем металла на границах раздела, вообще любым отражающим покрытием. В подобных условиях формулы (4), (5) остаются в силе, а величины ρ_1, ρ_2, t_1, t_2 задаются коэффициентами отражения и пропускания реальных покрытий.

Для того чтобы однородная линейная система уравнений (4) обладала ненулевыми решениями, ее детерминант должен равняться нулю. Это общее условие приводит к характеристическому уравнению

$$\rho_1 \rho_2 e^{2ik_x h} = 1. \quad (10)$$

Комплексные коэффициенты отражения ρ_1, ρ_2 , входящие в уравнение (10), зависят от k_x, k_{1x}, k_{2x} . Последние с помощью соотношения (2) можно выразить через k_x . Поэтому уравнение (10) можно рассматривать как уравнение относительно k_x , что вполне естественно, поскольку граничные условия, как всегда в граничных задачах, задают набор значений геометрических параметров поля, каковым и служит k_x — проекция волнового вектора на направление, вдоль которого поле «удерживается» внутри системы. По собственным значениям k_x с помощью соотношений (2) можно вычислить константу пространства k_z (при фиксированной ω) или ω (при фиксированной k_z).

2. Полное отражение. При полном отражении модули коэффициентов отражения равны 1 и можно написать

$$\rho_1 = \exp(-2i\delta_1), \quad \rho_2 = \exp(-2i\delta_2), \quad (11)$$

где $2\delta_1, 2\delta_2$ — скачки фазы при отражении от границ $x = 0$ и $x = h$ соответственно. Уравнение (10) преобразуется к виду

$$k_x h - \delta_1 - \delta_2 = \pi m, \quad (12)$$

где m — целое число.

В случае полного отражения из-за скачков диэлектрической проницаемости (соотношения (6), (8) для ρ_1, ρ_2) величины δ_1, δ_2 легко выражаются через k_x , поскольку из формулы (2) следует:

$$k_{1x} = i\sqrt{k_x^2 - k_1^2} = i\sqrt{k^2 - k_1^2 - k_x^2}, \quad k_{2x} = i\sqrt{k_x^2 - k_2^2} = i\sqrt{k^2 - k_2^2 - k_x^2}, \quad (13)$$

$$k_1^2 \geq k_x^2, \quad k_2^2 \geq k_x^2.$$

Поэтому имеем для I-поляризации

$$\delta_1 = \arctg \sqrt{(k^2 - k_1^2)/k_x^2 - 1}, \quad \delta_2 = \arctg \sqrt{(k^2 - k_2^2)/k_x^2 - 1} \quad (14)$$

и для II-поляризации

$$\delta_1 = \arctg \left[\frac{\epsilon}{\epsilon_1} \sqrt{(k^2 - k_1^2)/k_x^2 - 1} \right], \quad \delta_2 = \arctg \left[\frac{\epsilon}{\epsilon_2} \sqrt{(k^2 - k_2^2)/k_x^2 - 1} \right]. \quad (15)$$

Введем безразмерные переменные

$$\xi = k_x / \sqrt{k^2 - k_1^2}, \quad (16)$$

$$V = h\sqrt{k^2 - k_1^2} = \frac{\omega}{c} h\sqrt{\epsilon - \epsilon_1}, \quad (17)$$

$$a = \sqrt{\epsilon - \epsilon_1} / \sqrt{\epsilon - \epsilon_2} \quad (18)$$

и примем соглашение

$$\epsilon_1 \geq \epsilon_2, \quad a \leq 1. \quad (19)$$

С помощью введенных обозначений запишем для I-поляризации

$$V\xi = \arctg\sqrt{\xi^{-2} - 1} + \arctg\sqrt{(a\xi)^2 - 1} + \pi m \quad (20)$$

или еще проще

$$V\xi = \arccos\xi + \arccos(a\xi) + \pi m \quad (20a)$$

и для II-поляризации

$$V\xi = \arctg\left(\frac{\epsilon}{\epsilon_1}\sqrt{\xi^{-2} - 1}\right) + \arctg\left(\frac{\epsilon}{\epsilon_2}\sqrt{(a\xi)^2 - 1}\right) + \pi m. \quad (21)$$

Уравнения (20), (20a), (21) представляют собой сравнительно простые трансцендентные уравнения, записанные в форме, наиболее удобной для общего анализа и числовых расчетов.

Переменная ξ изменяется в пределах $0 \leq \xi \leq 1$, которые отвечают скользшему падению ($\xi = 0$) и предельному углу полного отражения ($\xi = 1$). В этом интервале тригонометрические функции в уравнениях (20a), (21) монотонно уменьшаются с ростом ξ . Поэтому при заданных значениях параметров $V, m, \epsilon/\epsilon_2, \epsilon/\epsilon_1$ решение, если оно существует, единственно. Рис. 2 иллюстрирует сделанное утверждение для $V = 14$ и I-поляризации.

Уравнения (20a), (21) при $m = -1$ имеют решение $\xi = 0$. Однако в этом случае поле внутри световода оказывается равным нулю:

$$A_1 e^{ikx} + A_2 e^{-ikx} = 2\sqrt{A_1 A_2} \cos(k_x h - \delta_1) = 0,$$

так как при $\xi = 0$ имеем $k_x = 0, \delta_1 = \pi/2$. Мода наименьшего порядка $m = 0$ при $a = 1$ всегда существует, поскольку уравнения

$$V\xi = 2\arctg\frac{\epsilon}{\epsilon_1}\sqrt{\xi^{-2} - 1}, \quad V\xi = 2\arccos\xi \quad (22)$$

имеют решение при любых значениях параметров V и ϵ/ϵ_1 . Если $a < 1$, то уравнения (20a), (21) для основной моды ($m = 0$)

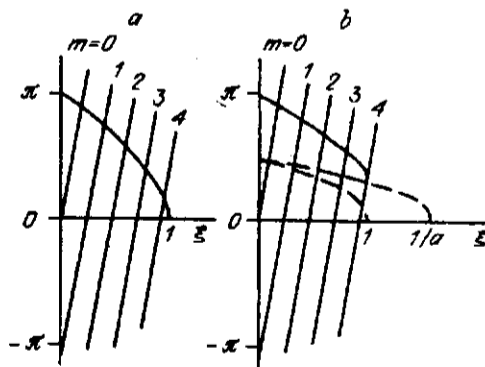
$$V\xi = \arccos\xi + \arccos a\xi, \quad (23)$$

$$V\xi = \arctg\frac{\epsilon}{\epsilon_1}\sqrt{\xi^{-2} - 1} + \arctg\frac{\epsilon}{\epsilon_2}\sqrt{(a\xi)^2 - 1} \quad (24)$$

имеют решения лишь при выполнении условий [2]

Рис. 2. Графики функций, входящих в уравнение (20a):

прямые отвечают функции $V\xi = \pi m$ ($V = 14$), сплошные кривые соответствуют сумме $\arccos\xi + \arccos a\xi$ для $a = 1$ (а) и $a = 2/3$ (б), штриховые кривые суть графики функций $\arccos\xi$ и $\arccos a\xi$ по отдельности



$$V > \arccos a, \quad V > \arctg \frac{\varepsilon}{\varepsilon_2} \sqrt{a^{-2} - 1} \quad (25)$$

соответственно для 1- и II-поляризаций. Максимальное число мод m_{\max} определяется нарушением полного отражения на границе $x = 0$ ($\xi = 1$) и задается соотношениями [2]

$$m_{\max} = \left[\frac{1}{\pi} (V - \arccos a) \right] \quad (\text{I-поляризация}), \quad (26)$$

$$m_{\max} = \left[\frac{1}{\pi} (V - \arctg \frac{\varepsilon}{\varepsilon_2} \sqrt{a^{-2} - 1}) \right] \quad (\text{II-поляризация}), \quad (27)$$

где $[b]$ обозначает целую часть числа b .

При больших значениях параметров V и m основную роль в характеристических уравнениях играют члены $V\xi$ и πm , а фазы δ_1, δ_2 приводят к небольшим поправкам. Разлагая δ_1, δ_2 в ряд около точки $\xi = \pi(m+1)/V$, приходим к следующему приближенному выражению:

$$\xi = \xi_m + \delta_m / (V - d\delta/d\xi), \quad \xi_m = \pi(m+1)/V, \quad (28)$$

$$\delta_m = -\arcsin \xi_m - \arcsin(a\xi_m) \quad (\text{I-поляризация}),$$

$$\frac{d\delta}{d\xi} = -(1 - \xi_m^2)^{-1/2} - a(1 - a^2\xi_m^2)^{-1/2},$$

$$\delta_m = -\arctg \left(\frac{\varepsilon_2}{\varepsilon} \xi_m / \sqrt{1 - \xi_m^2} \right) - \arctg \left(\frac{\varepsilon_2}{\varepsilon} a\xi_m / \sqrt{1 - a^2\xi_m^2} \right) \quad (\text{II-поляризация}),$$

$$\frac{d\delta}{d\xi} = -\frac{\varepsilon_1/\varepsilon}{\sqrt{1 - \xi_m^2} [1 - (1 - \varepsilon_1^2/\varepsilon^2)\xi_m^2]} - \frac{a\varepsilon_2/\varepsilon}{\sqrt{1 - a^2\xi_m^2} [1 - (1 - \varepsilon_2^2/\varepsilon^2)(a\xi_m)^2]}$$

Приведем без вывода приближенные формулы для малых ξ :

$$\xi = \pi \frac{m+1}{V+1+a} \quad (\text{I-поляризация}), \quad (29)$$

$$\xi = \pi \frac{m+1}{V + (\varepsilon_1 + \varepsilon_2)/\varepsilon} \quad (\text{II-поляризация}) \quad (30)$$

и для малых значений $1 - \xi$:

$$\xi = 1 - \frac{(V - \pi m)^2}{2[1 + \sqrt{1 + V(V - \pi m)/2}]^2}, \quad a = 1 \quad (\text{I-поляризация}), \quad (31)$$

$$\xi = 1 - \frac{2[V - \pi m - \arccos a]^2}{[1 + \sqrt{1 + 2(V + a/\sqrt{1 - a^2})(V - \pi m - \arccos a)}]^2}, \quad a < 1 \quad (\text{I-поляризация}), \quad (32)$$

$$\xi = 1 - \frac{(V - \pi m)^2 \varepsilon_1/\varepsilon}{2[1 + \sqrt{1 + V(V - \pi m)\varepsilon_1^2/2\varepsilon^2}]^2}, \quad a = 1 \quad (\text{II-поляризация}), \quad (33)$$

$$\xi = 1 - \frac{2(V - \pi m - A)^2 \varepsilon_1/\varepsilon}{[1 + \sqrt{1 + 2(V + B)(V - \pi m - A)\varepsilon_1^2/\varepsilon^2}]^2}, \quad a < 1, \quad (34)$$

$$A = \operatorname{arctg}\left(\frac{\epsilon}{\epsilon_2} \sqrt{a^{-2} - 1}\right), \quad B = \frac{a}{\sqrt{1 - a^2}} \frac{\epsilon/\epsilon_2}{a^2 + (1 - a^2)\epsilon^2/\epsilon_2^2}.$$

Формулы, эквивалентные (29) и (30), получены в [2].

Выражения (29)–(34) содержат большое число параметров ($m, V, a, \epsilon_1/\epsilon_2$), и подробный их анализ здесь вряд ли целесообразен. Ограничимся упоминанием линейной зависимости ξ от m при $\xi \ll 1$, т. е. вдали от предельного угла полного отражения, квадратичной зависимости $1 - \xi$ от $V - \pi m$ вблизи предельного угла ($1 - \xi \ll 1$). Отметим также поляризационный эффект, связанный с зависимостью δ_1 и δ_2 от поляризации.

Численные решения $\xi(V)$ характеристического уравнения сравнительно просто находятся предварительным вычислением обратной функции $V(\xi)$ по формулам

$$V(\xi) = \frac{1}{\xi} (\pi m + \arccos \xi + \operatorname{arccos} a \xi), \quad (20б)$$

$$V(\xi) = \frac{1}{\xi} \left[\pi m + \operatorname{arctg} \frac{\epsilon}{\epsilon_1} \sqrt{\xi^{-2} - 1} + \operatorname{arctg} \frac{\epsilon}{\epsilon_2} \sqrt{(a\xi)^{-2} - 1} \right]. \quad (21а)$$

Затем графически или с помощью интерполяции можно вычислить $\xi(V)$ с любой необходимой точностью.

Сравнение значений $\xi(V)$ для $m = 0, 1$ и 2 , полученных из формул (29) и (31), с результатами численного расчета привело к следующим выводам. В интервале $0,4 < \xi < 1$ значения из (31) отличаются от точных не более чем на единицу второго знака после запятой. Формула (29) дает точность не хуже двух единиц второго знака после запятой в интервале $0 < \xi < 0,5$. Таким образом, с указанной точностью собственные значения ξ можно вычислять с помощью приведенных выражений во всем интервале изменения ξ .

Характеристические уравнения в форме (20а), (21) представляются наиболее простыми математически и наглядными с физической точки зрения. Переменная ξ удобна в том отношении, что левая часть уравнений (20а) и (21) оказывается самой простой — линейной функцией от ξ , что иллюстрирует рис. 2. В отличие от принятого здесь в [2] введена переменная $b = 1 - \xi^2$, для которой вместо, например, уравнения (20а) получается

$$V\sqrt{1 - b} = \operatorname{arctg} \sqrt{b/(1 - b)} + \operatorname{arctg} \sqrt{1/(a^2(1 - b)) - 1} + \pi m, \quad (20в)$$

и оно, очевидно, более сложное. В работе [3] от левой и правой частей характеристического уравнения вычисляется тангенс, т. е. линейная функция $V\xi$ заменяется на $\operatorname{tg} V\xi$. Таким образом, в математическом отношении уравнения (20), (20а), (21) наиболее просты.

Переменная ξ есть нормированная поперечная компонента волновых векторов поля внутри слоя, и она очевидным образом связана с константой распространения k_z и с k :

$$\xi^2 = (k^2 - k_z^2)/(k^2 - k_1^2).$$

Величина b из [2] есть

$$b = 1 - \xi^2 = (k_{\text{л}}/i)^2/(k^2 - k_1^2),$$

т. е. тем же способом нормированный квадрат мнимой части волнового вектора уходящей волны в среде 1, и эта величина, несомненно, физически менее показательна и интересна.

3. Затухающие моды. В реальных системах отражение может быть неполным, а среда световода — обладать поглощением. Оба фактора приводят к затуханию полей. В такой задаче поле и характеристическое уравнение по-

прежнему задаются формулами (1) и (10). Отличие состоит в том, что модули коэффициентов отражения меньше единицы

$$\rho_1 \rho_2 = r \exp[-2i(\delta_1 + \delta_2)], \quad r = |\rho_1 \rho_2| < 1, \quad (35)$$

и величина k_x оказывается комплексной: $k_x = k'_x + ik''_x$. Разделяя в характеристическом уравнении модульную и фазовую части, приходим к системе уравнений относительно k'_x и k''_x :

$$\begin{aligned} k'_x h &= \delta_1(k'_x, k''_x) + \delta_2(k'_x, k''_x) + \pi m, \\ 2k''_x h &= \ln[r(k'_x, k''_x)]. \end{aligned} \quad (36)$$

Величины r , δ_1 , δ_2 зависят от k'_x , k''_x , и в общем случае система уравнений (36) достаточно сложна.

Допустим, что система (36) решена и k'_x , k''_x известны. Тогда из равенств (2) находим систему уравнений для вещественной и мнимой частей z -компоненты волнового вектора $k_z = k'_z + ik''_z$:

$$k'^2_z - k''^2_z = \frac{\omega^2}{c^2} \epsilon' - k'^2_x + k''^2_x, \quad 2k'_z k''_z = \frac{\omega^2}{c^2} \epsilon'' - 2k'_x k''_x. \quad (37)$$

Из уравнений видно, что и неполное отражение ($k''_x \neq 0$), и поглощение ($\epsilon'' \neq 0$) обуславливают затухание волн в направлении z ($k''_z \neq 0$). Формулы (36), (37) наглядно иллюстрируют высказанную выше мысль о том, что естественной переменной в граничной задаче световода служит величина k_x , а другие характеристики мод находятся из уравнений, в правую часть которых входят собственные значения k_x .

В простейшем случае $\epsilon'' = 0$, $k''^2_z \ll k'^2_z$, $k''^2_x \ll k'^2_x$ находим

$$k'_z = \sqrt{\omega^2 \epsilon' / c^2 - k'^2_x}, \quad k''_z = -\frac{k'_x}{k'_z} k''_x = \frac{k'_x}{2hk'_z} \ln \frac{1}{r}. \quad (38)$$

Величина $2hk'_z/k'_x$ представляет собой расстояние между двумя последовательными точками падения луча внутри слоя на его границу, и, следовательно, k''_z согласно (38) задает ослабление поля на фактор r на протяжении этой длины.

При углах падения на границы световода меньше предельного в средах 1 и 2 распространяются волны, также затухающие в направлениях x , z . Для описания зависимости от z служат формулы (1) и (37), (38), а для k_{1x} , k_{2x} из соотношений (2) получаем уравнения:

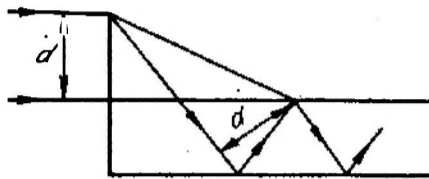
$$(k'_{1x} + ik''_{1x})^2 = (k'_x + ik''_x)^2 - (\epsilon - \epsilon_1)\omega^2/c^2, \quad (39)$$

$$(k'_{2x} + ik''_{2x})^2 = (k'_x + ik''_x)^2 - (\epsilon - \epsilon_2)\omega^2/c^2. \quad (40)$$

Решения уравнений (39), (40) задают, в частности, положения (k'_{1x} , k'_{2x}) и ширины (k''_{1x} , k''_{2x}) колец интерференционной картины пластинки Люммера — Герке, изобретенной в 1901 г. и применяющейся в качестве спектрального прибора [5]. Ее следует рассматривать как предтечу световодов в той же мере, в какой эталон Фабри — Перо (1897 г. [5]) является прародителем открытых резонаторов.

Некоторые постановки вопросов, принятые в теории пластинки Люммера — Герке, и соответствующие результаты полезны в теории световодов. Изложенное относится, в частности, к анализу роли дифракции при возбуждении мод световода [6, 7]. Одна из схем возбуждения показана на рис. 3 [1—3,

Рис. 3. Схема возбуждения мод пластинки Льюмера — Герке и световода с помощью призмы полного отражения



5—7]. Плоская волна, проходящая входную призму полного отражения, ограничена по протяженности волнового фронта (d), и вследствие дифракции в световоде формируется пакет плоских волн с характерной шириной $\Delta\varphi_d = \lambda/d$. Легко показать, что

$$d = 2h\sin\varphi, \quad \Delta\varphi_d = \lambda/2h\sin\varphi, \quad (41)$$

где φ — угол падения на границу. Сопоставим $\Delta\varphi_d$ с угловым интервалом $\Delta\varphi$ между модами, которые отличаются значением числа m на Δm . Из характеристического уравнения (12) находим

$$h\Delta k_x = \frac{d\delta}{dk_x} \Delta k_x + \pi\Delta m, \quad \delta = \delta_1 + \delta_2,$$

и, следовательно,

$$\Delta k_x = \pi\Delta m / (h - d\delta/dk_x). \quad (42)$$

Принимая во внимание соотношения

$$k_x = k\cos\varphi, \quad \Delta k_x = -k\sin\varphi\Delta\varphi, \quad k = 2\pi/\lambda,$$

приходим к выражению

$$|\Delta\varphi| = \lambda/2h_c\sin\varphi, \quad h_c = h - d\delta/dk_x, \quad \Delta m = 1. \quad (43)$$

Таким образом, с точностью до множителя $h/h_c \approx 1$ величины $\Delta\varphi$ и $\Delta\varphi_d$ совпадают [6, 7]. Следовательно, из-за дифракции в световоде должна возбуждаться не одна мода, подобно тому, как в пластинке Льюмера — Герке наблюдается не одно интерференционное кольцо.

4. Обсуждение. Сравним развитый способ расчета собственных значений с другими, изложенными в литературе. Выше рассматривалась стандартная постановка граничной задачи для волн, бегущих в слое конечной толщины и неограниченной протяженности (в направлении оси z). Дискретные собственные значения возникают как следствие общего требования ненулевых решений волнового уравнения, и это требование оформляется в виде уравнения (10). При таком подходе характеристическое уравнение обладает максимальной возможной общностью. Отметим также полезную аналогию уравнения (10) с характеристическим уравнением открытых резонаторов.

В литературе часто применяют иную аргументацию, рассматривая распространение в световоде так называемой «зигзагообразной волны» [1—3]. При таком способе рассуждений характеристическое уравнение в форме (12) возникает как следствие требования точной синфазности различных частей (соседних «зигзагов») волны. Подобная аргументация вызывает ряд возражений. Во-первых, уравнение (12) имеет менее общий характер, чем уравнение (10). Во-вторых, остается неясным, почему не могут существовать не вполне синфазные волны. В-третьих, не очевиден переход к затухающим волнам (поглощение, неполное отражение). Наконец, понятие зигзагообразной волны обычно связывают с конечностью размера ее волнового фронта и апеллируют к оптико-геометрическому приближению, имея в виду в то же время бесконечно протяженный слой. Известно, однако, что при достаточно большом пути распространения ограниченность волнового фронта приводит к существенному проявлению дифракции (зона Фраунгофера). Ссылка на ограниченность длины реальных световодов не разъясняет ситуации, но усугубля-

ет неполноценность аргументации, ибо волновод конечной длины — это уже другая граничная задача, с другими собственными значениями (в частности, они комплексны даже при $r = 1$ [8]). Пластина Люммера — Герке, упомянутая в разделе [3], относится к световодам конечной длины, и наличие в ее интерференционной картине нескольких колец наглядно иллюстрирует утверждение о том, что понятие моды световода связано с плоскими волнами, бесконечно протяженными в направлении свободного распространения.

СПИСОК ЛИТЕРАТУРЫ

1. Introduction to Integrated Optics /Ed. by M. K. Barnoski.—N. Y.; L.: Plenum Press, 1974. (Пер.: Введение в интегральную оптику /Под ред. М. К. Барноски.—М.: Мир, 1977).
2. Kogelnik H. Integrated Optics /Ed. by T. Tamir.—Berlin a. o.: Springer, 1975.—Ch. 2.—P. 27. (Пер.: Интегральная оптика.—М.: Мир, 1978.—Гл. 2).
3. Unger H.-G. Planar Optical Waveguides and Fibers.—Oxford: Clarendon Press, 1977. (Пер.: Х.-Г. Унгер. Планарные и волоконные оптические волноводы.—М.: Мир, 1980).
4. Сивухин Д. В. Общий курс физики. Оптика.—2-е изд.—М.: Наука, 1985.
5. Tatarsky S. High Resolution Spectroscopy.—N. Y.; Chicago, 1947. (Пер.: С. Таланский. Спектроскопия высокой разрешающей силы.—М.: ИЛ, 1955).
6. Королев Ф. А. // Труды ФИАН.—М.—Л.: Изд. АН СССР, 1940.—Т. 2.
7. Королев Ф. А. Спектроскопия высокой разрешающей силы.—М.: Гостехиздат, 1953.
8. Вайнштейн Л. А. Открытые резонаторы и волноводы.—М.: Сов. радио, 1966.

Поступила в редакцию 2 марта 1994 г.